



تحلیل پایداری و طراحی سیستم نگهداری تونل‌های آب‌بر سد گتوند علیا

محمد رضا قزوینی^۱ و عبدالهادی قزوینیان^{۲*}

۱) کارشناسی ارشد استخراج معدن، دانشگاه آزاد اسلامی واحد تهران جنوب، mohammad.ghazvini@gmail.com

۲) دانشیار دانشگاه تربیت مدرس تهران، abdolhadi@yahoo.com

* عهده‌دار مکاتبات

دریافت: ۹۲/۸/۱۳، دریافت اصلاح شده: ۹۲/۳/۸، پذیرش: ۹۲/۴/۹، قابل دسترس در تارنما: ۹۲/۶/۱۵

پکیده

سد گتوند علیا با ارتفاع ۱۸۰ متر، از نوع سنگریزه‌ای با هسته رسی می‌باشد. این سد، بلندترین سد خاکی ایران بوده و هدف فاز اول آن تولید ۱۰۰۰ مگاوات برق است. در این طرح، چهار تونل آب‌بر با قطر ۱۲/۶ متر در ساحل سمت چپ ساختگاه سد حفاری می‌شوند. نگهداری این تونل‌ها که جزء تاسیسات دائمی سد بشمار می‌رود، از اهمیت خاصی برخوردار است. هدف از این تحقیق، تحلیل پایداری تونل‌های آب‌بر و طراحی نگهداری موقت این سازه‌ها می‌باشد. در این پژوهش، تحلیل پایداری تونل‌ها با استفاده از روش‌های تجربی (طبقه‌بندی RMR) و روش عددی و توسط نرم‌افزار FLAC صورت گرفت. در نهایت، سیستم نگهداری موقت با استفاده از روش تجربی و عددی برای تونل‌های مورد مطالعه پیشنهاد گردید.

واژه‌های کلیدی: سد گتوند علیا، سد سنگریزه‌ای با هسته رسی، روش تجربی، روش عددی، نرم افزار FLAC

- مقدمه

است. سد گتوند دارای تاجی به طول ۷۶۰ متر و عرض ۱۷ متر می‌باشد. تراز تاج سد نیز ۲۴۶ متر از سطح دریا می‌باشد. همچنین نیروگاهی رویا با ظرفیت ۱۰۰۰ مگاوات انرژی برق (قابل توسعه تا ۲۰۰۰ مگاوات)، در پایین دست محور سد، در ساحل چپ رودخانه ساخته شده است (Iran Water and Power Resources Development Company 2012).

حرفر فضاهای زیرزمینی، از دیرباز بنا به دلایل مختلفی از جمله احداث نیروگاه‌های آبی و استخراج معدن، مورد توجه مهندسین بوده است. عوامل زمین‌شناسخی و پارامترهای رفتاری سنگ‌ها، نقش اساسی در مطالعات و اجرای یک پروژه دارد. پایداری فضاهای بزرگ

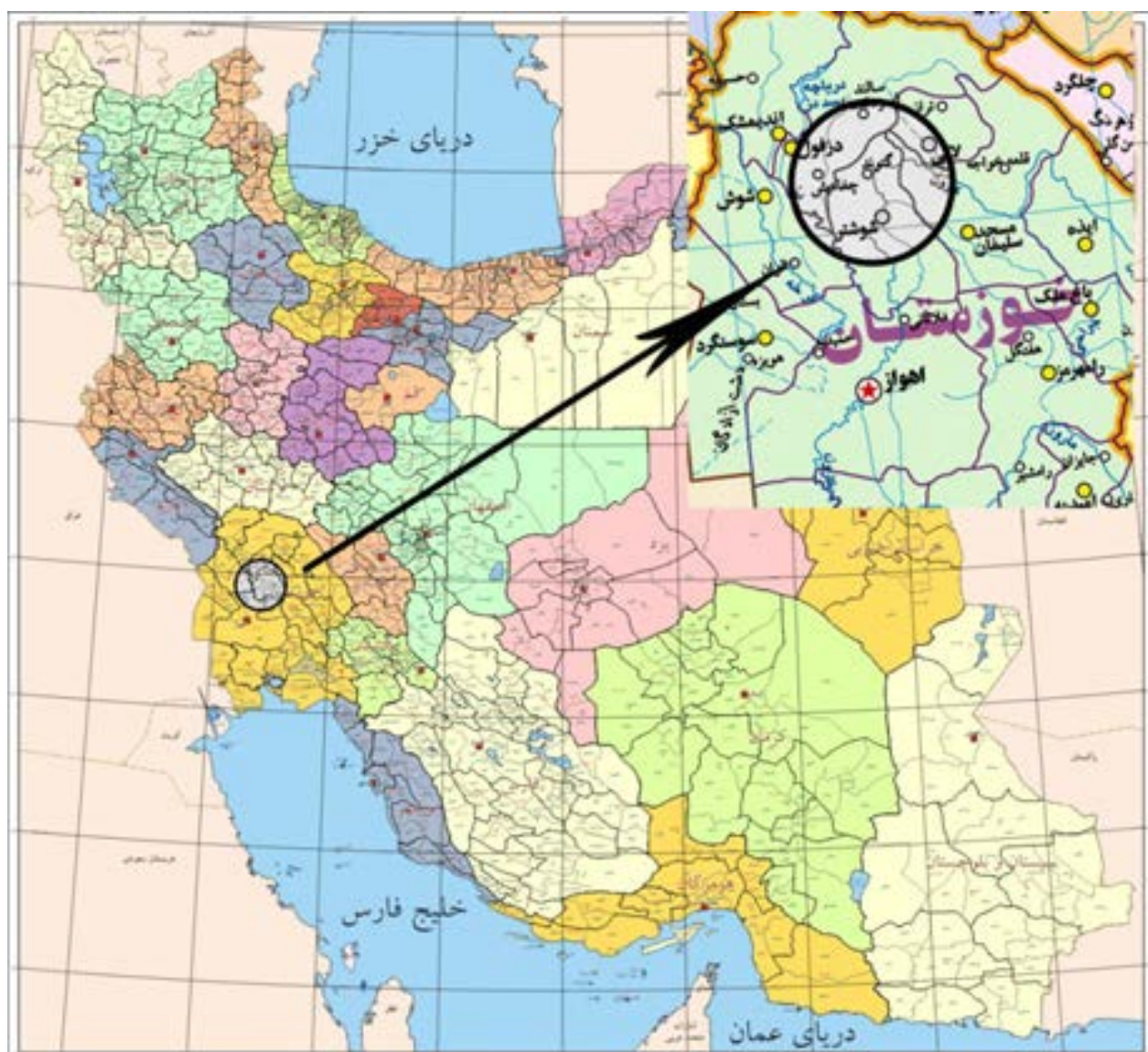
طرح سد و نیروگاه گتوند علیا از طرح‌های بزرگ عمرانی کشور می‌باشد. ساختگاه سد در استان خوزستان و به مختصات جغرافیایی $۳۲^{\circ}۱۶'۸''$ طول شرقی و $۴۸^{\circ}۵۶'۱۰''$ عرض شمالی بر روی رودخانه کارون، بین مسجد سلیمان و سد تنظیمی گتوند، در فاصله ۳۸۲/۸ کیلومتری از دهانه رودخانه و در ۲۵ کیلومتری شمال شهرستان شوشتر، در بخش گتوند ساخته شده است (تصویر ۱). این سد آخرین سد بلندی است که بر روی رودخانه کارون ساخته می‌شود. سد مورد مطالعه از نوع سنگریزه‌ای با هسته رسی بوده و با ارتفاع ۱۸۰ متر، بلندترین سد خاکی ایران می‌باشد. عرض این سد در پی، ۱۰۷۵ متر

های آماده در این زمینه، می‌توان ادعا نمود که هر سازه زیرزمینی با هر مشخصه‌ای را می‌توان مدل کرده و قبل از اجرا، تحلیلی به لحاظ مسائل پایداری یا اعمال سیستم نگهداری انجام داد. به طور کلی، کترل پروژه‌ها با استفاده از روش‌های عددی و تجربی انجام می‌شود.

هدف از این تحقیق، تحلیل پایداری تونل‌های آب بر و طراحی نگهداری موقت این سازه‌ها می‌باشد. بدین منظور، تحلیل پایداری تونل‌ها با استفاده از روش طبقه‌بندی RMR و روش عددی و توسط نرم‌افزار FLAC صورت گرفت. در نهایت، سیستم نگهداری موقت با استفاده از روش تجربی و عددی برای تونل‌های فوق پیشنهاد گردید.

زیرزمینی، تحلیل تنش‌ها و تغییرشکل‌های ایجاد شده پس از حفاری و راههای بهینه‌سازی حفاری از اهمیت خاصی در حفر فضاهای زیرزمینی برخوردار می‌باشد.

تا دهه ۶۰ میلادی، طراحی و اجرای فضاهای زیرزمینی بر مبنای روش فرم بسته و اصول تجربی استوار بود. اولین طبقه‌بندی در سال ۱۹۴۶ توسط ترزاقی ارائه شد (Terzaghi 1946). از دهه ۶۰ به بعد با پیشرفت سریع علوم کامپیوتر و مهندسی از جمله مکانیک محیط‌های پیوسته و ناپیوسته، روش‌های تحلیلی و تئوریک به سرعت رونق یافت. امروزه با وجود کامپیوتراهای با سرعت بالا و در دسترس بودن برنامه-



تصویر ۱- موقعیت جغرافیایی سد گتوند علیا (سازمان توسعه و نوسازی معادن و صنایع معدنی ایران ۱۳۹۰)

گلسنگ است. واحدهای اصلی تشکیل دهنده سازند بختیاری نیز کنگلومرا با میانلایه‌های گلسنگ و ماسه سنگ می‌باشند. بین دو سازند بختیاری و آغازاری میان سازندی با عنوان سازند انتقالی

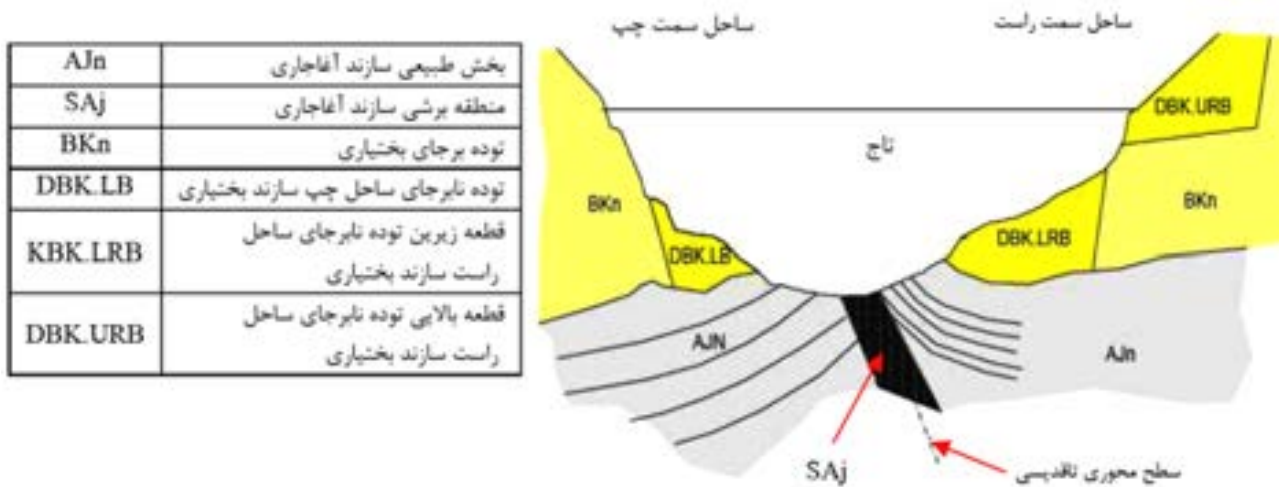
۲- ویژگی‌های زمین‌شناسی

در محدوده‌ی مورد مطالعه، دو سازند آغازاری و بختیاری سنگ بستر را تشکیل داده‌اند. سازند آغازاری شامل ماسه‌سنگ، لای‌سنگ و

(قرار دارد که شامل میان‌لایه کنگلومرا- گلسنگ، لای- سنگ و ماسه‌سنگ است (Mahab Gods 2008) (تصویر ۲). توده- سنگ مسیر تونل‌های آبرسان، براساس مطالعات و برداشت‌های انجام شده در طی حفاری، از نظر ژئومکانیکی به سه زون تقسیم شد (جدول ۱).

جدول ۱- طبقه‌بندی توده‌سنگ مسیر تونل‌های آبرسان (شرکت مهندسین مشاور مهاب قدس ۱۳۸۷)

| نوع سنگ | واحد سنگی | توصیف نوع سنگ |
|---------|-----------|--|
| ۱ | 1a | کنگلومرای بکر قوی در سازند بختیاری |
| ۱ | 1b | کنگلومرای بکر ضعیف در سازند بختیاری |
| ۲ | 2 | میان‌لایه گلسنگ- لای‌سنگ- ماسه‌سنگ در سازند آغاجاری |
| ۴ | 3a | میان‌لایه قوی کنگلومرا- گلسنگ/لای‌سنگ / ماسه‌سنگ در سازند انتقالی |
| ۴ | 3b | میان‌لایه ضعیف کنگلومرا- گلسنگ/لای‌سنگ / ماسه‌سنگ در سازند انتقالی |



تصویر ۲- طرح شماتیک از واحدهای سنگی ساختگاه سد (شرکت مهندسین مشاور مهاب قدس ۱۳۸۷)

مجموع امتیازات ۶ پارامتر (طبق رابطه ۱) امتیاز نهایی RMR را تعیین می‌کنند (Choi & Park 2002، و فائیان ۱۳۸۴، هوك ۱۳۸۱).

$$RMR = R_s + R_{RQD} + R_{sd} + R_w + R_{od}$$

در این رابطه، R_s مقاومت فشاری تکمحوری سنگ بکر، R_{RQD} شاخص کیفیت سنگ، R_{sd} فاصله ناپیوستگی‌ها، R_{cd} وضعیت ناپیوستگی‌ها، R_w وضعیت آبهای زیرزمینی و R_{od} جهت ناپیوستگی‌ها می‌باشد (جلالی ۱۳۸۱).

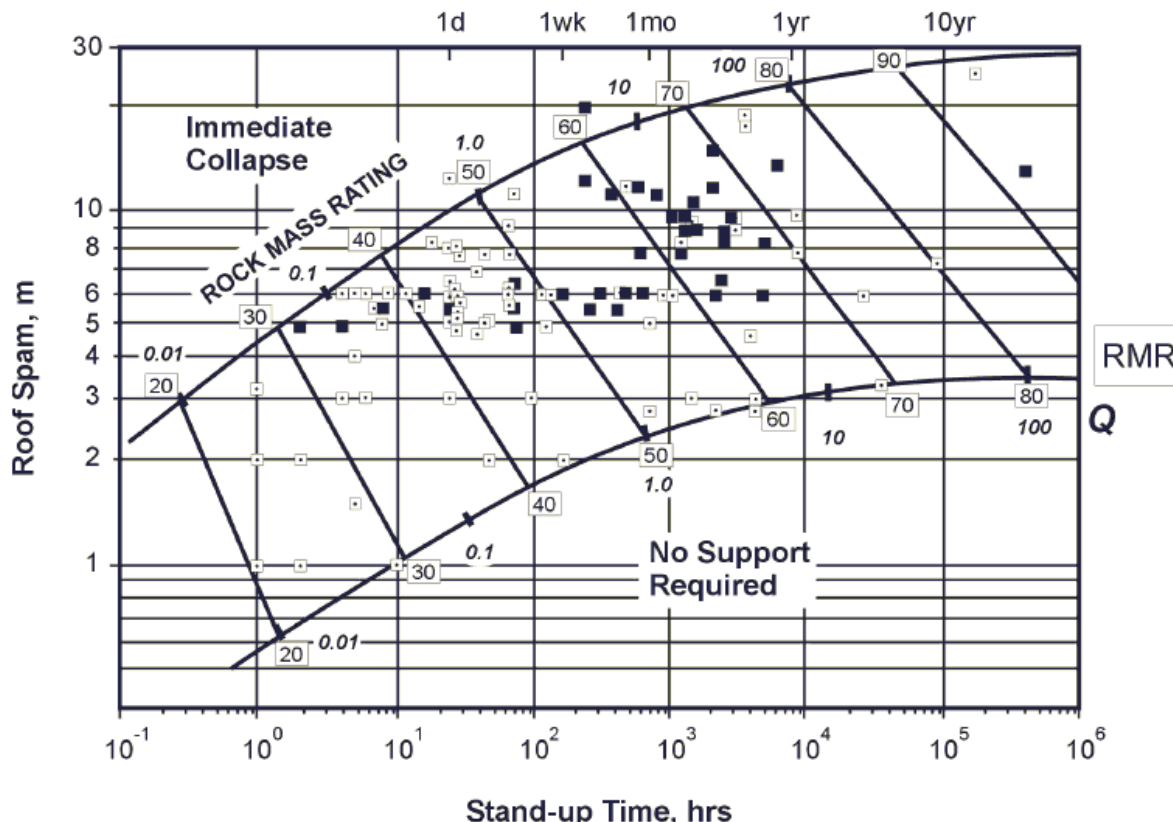
در این طبقه‌بندی، سنگها از نظر کیفیت به انواع خوب یا بد تقسیم نمی‌شوند، بلکه عددی که ممکن است از ۰/۰۰۱ تا ۱۰۰۰ تغییر کند، معرف مشخصات سنگ می‌باشد. بطور کلی اعداد بزرگتر، سنگ با کیفیت بهتر را معرفی می‌کنند (فرهودی و همکاران ۱۳۸۶).

نموداری نیز توسط بینیاووسکی (Bieniawski 1979) ارائه گردید که

۳- تحلیل پایداری و طراحی سیستم نگهداری به روشن تجربی

روش‌های تجربی، بر اساس تجربه و در طی پروژه‌ها و شرایط مختلف جمع‌آوری می‌شوند. طبقه‌بندی مهندسی سنگ، پایه و اساس روش‌های تجربی است و کاربرد گسترده‌ای در مهندسی سنگ دارد. به طور کلی، با ترکیب یافته‌های مشاهده شده به همراه تجربه و قضاوت مهندسی، می‌توان توده‌سنگ را طبقه‌بندی نموده و شرایط توده‌سنگ و میزان نگهداری لازم را مورد ارزیابی قرار داد. هر طبقه‌بندی، کوششی برای ارزیابی توده‌سنگ در هر پروژه بوده و از این‌رو گزینش پارامترهای آن از اهمیت ویژه‌ای برخوردار می‌باشد (معماریان ۱۳۷۴). در این مقاله از سیستم طبقه‌بندی RMR استفاده شده است. روش RMR، برای اولین بار در سال ۱۹۷۶ توسط بینیاووسکی ارائه گردید (Bieniawski 1974, 1976, 1979, 1989). در این روش،

با داشتن مقدار عددی RMR و عرض دهانه فضای موردنظر، می‌توان (تصویر ۳). این زمان در ارائه روش اجرا و زمان نصب نگهداری می‌تواند بسیار مفید باشد (Milne et al. 1998) زمان پایداری سازه (بدون استفاده از وسایل نگهداری) را بدست آورد.



تصویر ۳- رابطه بین زمان خودایستایی حفریات بدون نگهداری و مقدار RMR (Barton 2008)

نایپوستگی در سازند بختیاری و همچنین فاصله زیاد نایپوستگی‌ها در میان این سازند و سازند آگاجاری، می‌توان آنها را به عنوان یک محیط پیوسته فرض نمود. بنابراین، در این پژوهش از نرم‌افزار FLAC که یک برنامه صریح تفاضل محدود است و بر مبنای محاسبات لاغرنژین برای مدل‌سازی تغییرشکل‌های بزرگ کارایی دارد، استفاده شد. با توجه به نوع واحدهای سنگی در سازندهای بختیاری، سازند انتقالی و سازند آگاجاری، برای روش تحلیلی و مدل‌سازی عددی، سه مقطع انتخاب شد. (جدول ۴).

اطلاعات حاصل از سیستم طبقه‌بندی RMR و همچنین سیستم نگهداری پیشنهادی این روش در جدول‌های ۲ و ۳ خلاصه شده‌اند.

۱۴- مدل‌سازی عددی

امروزه، برای کاهش ریسک ساخت و تحلیل و شبیه‌سازی رفتار سازه‌ها، از نرم‌افزارها استفاده می‌شود. یکی از این نرم‌افزارها FLAC می‌باشد که برنامه‌ای بسیار کامل و معتبر در زمینه ساخت سد، تونل، معدن و غیره است (خدابنده‌لو ۱۳۸۴). با توجه به عدم وجود

جدول ۲- اطلاعات حاصل از سیستم طبقه‌بندی RMR توده‌سنگ تونل‌های آبرسان

| نوع سنگ | امتیاز | مدت زمان پایداری |
|---------|---------|----------------------------|
| 1a | ۸۴ - ۸۷ | ۸ سال برای دهانه ۱۲/۶ متری |
| 1b | ۴۹ - ۵۵ | ریزش بلا فاصله |
| 2 | ۳۸ - ۵۲ | ریزش بلا فاصله |
| 3a | ۵۳ - ۶۹ | ۴ روز برای دهانه ۱۲/۶ متری |
| 3b | ۴۸ - ۵۶ | ریزش بلا فاصله |

جدول ۳- سیستم نگهداری پیشنهادی روش طبقبندی RMR

| نوع سنگ | طول (متر) | فاصله‌داری (متر مربع) | ضخامت (میلیمتر) | شاتکریت | میل مهار (با قطر ۲۰ میلیمتر) |
|---------|-----------|-----------------------|-----------------|---------|------------------------------|
| تاج | دیواره‌ها | | | | |
| 1a | - | - | - | - | - |
| 1b | ۴ | ۱/۵ - ۲ | ۵۰ - ۱۰۰ | ۳۰ | - |
| 2 | ۴ - ۵ | ۱ - ۱/۵ | ۱۰۰ - ۱۵۰ | ۱۰۰ | - |
| 3a | ۴ | ۱/۵ - ۲ | ۵۰ - ۱۰۰ | ۳۰ | - |
| 3b | ۴ | ۱/۵ - ۲ | ۵۰ - ۱۰۰ | ۳۰ | - |

جدول ۴- مقاطع مختلف جهت مدلسازی عددی

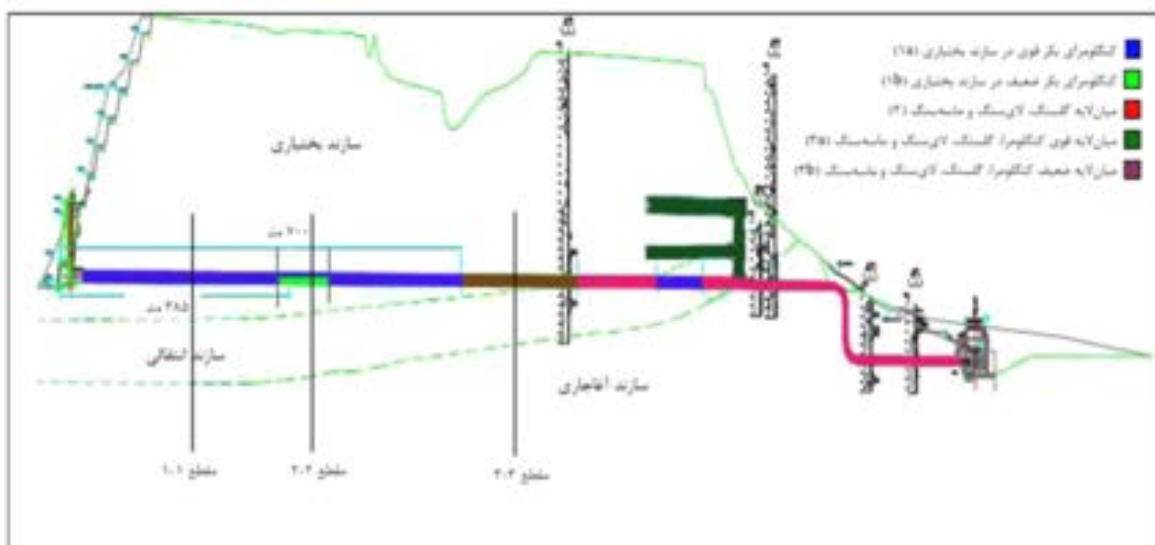
| نام مقطع | فاصله از دهانه تونل (متر) | واحد سنگی | فاصله سقف تونل از سطح زمین (متر) | فواصله از دهانه تونل (متر) |
|----------|---------------------------|-----------|----------------------------------|----------------------------|
| ۱-۱ مقطع | ۲۰۰ | 1a | ۲۷۰ | - |
| ۲-۲ مقطع | ۴۰۰ | 1b | ۲۵۰ | - |
| ۳-۳ مقطع | ۸۰۰ | 3b | ۲۲۵ | - |

در این بخش، واحدهای ۱a، ۱b و ۳b با استفاده از نرم‌افزار FLAC مورد تحلیل قرار گرفتند. در این تحلیل، مدلی با ابعاد ۱۰۴ متر در ۱۰۴ متر در نظر گرفته شد. مدل رفتاری مورد استفاده در این پژوهش، مدل پلاستیک موهر- کولمب است. این مدل، رفتار سنگ‌ها را در بخش الاستیک نفی نکرده، بلکه در صورتی که رفتار آنها از الاستیک خارج شده و به منطقه پلاستیک برسری شوند، از پارامترهای مورد نیاز جهت تعیین مدل رفتاری موهر- کولمب می‌توان به مدول

الاستیک یانگ، نسبت پوآسون، مقاومت چسبندگی و مقاومت کششی سنگ و زاویه اصطکاک و زاویه اتساع اشاره کرد (جدول ۵). به علت محدودیت ارائه تمام نتایج و تحلیل‌ها در این مقاله، تنها مدل سازی انجام شده بر روی مقطع (۱-۱) از مسیر مورد نظر در تصویر ۴ ارائه می‌شود. برای هر یک از مقاطع تونل آببر، مقادیر جابجایی قائم و افقی و نیز کرنش برشی مورد بررسی قرار گرفته و نتایج در جداول ۶، ۷ و ۸ ارائه شده است.

جدول ۵- پارامترهای معیار شکست موهر-کولمب در واحدهای سنگی ۱a، ۱b و ۳b (شرکت مهندسین مشاور مهاب قدس ۱۳۸۷)

| واحد سنگی | زاویه اصطکاک (درجه) | مقاومت کششی (MPa) | مقاطعه چسبندگی (MPa) | ضریب پوآسون | مدول یانگ (GPa) |
|-----------|---------------------|-------------------|----------------------|-------------|-----------------|
| 1a | ۵۲ | ۴/۴ | ۱/۷۲ | ۰/۲۳ | ۹/۰ |
| 1b | ۴۴ | ۳/۹ | ۱ | ۰/۲۵ | ۶/۰ |
| 3b | ۳۵ | ۲/۲ | ۰/۷۵ | ۰/۳ | ۵/۰ |



تصویر ۴ - موقعیت واحدهای ژئوتکنیکی ۱a، ۱b، ۲، ۳a و ۳b در راستای تونل شماره ۱ و مقاطع بکار رفته در مدلسازی (Mahab Gods 2008)

جدول ۶- میزان جابجایی های افقی و قائم بدون نصب نگهداری در مقطع ۱-۱

| موقعیت | سقف | کف | دیواره راست | جابجایی قائم(میلیمتر) | جابجایی افقی(میلیمتر) | جابجایی قائم(میلیمتر) | دیواره چپ |
|-----------|-------|-------|-------------|-----------------------|-----------------------|-----------------------|-----------|
| تونل راست | ۱۱/۰۶ | ۶/۹۲۷ | ۱/۹۱۶ | ۲/۰۷۴ | | | |
| تونل چپ | ۱۰/۷۴ | ۶/۸۹۸ | ۲/۱۰۸ | ۱/۹۷۵ | | | |

جدول ۷- میزان جابجایی های افقی و قائم بدون نصب نگهداری در مقطع ۲-۲

| موقعیت | سقف | کف | دیواره راست | جابجایی قائم(میلیمتر) | جابجایی افقی(میلیمتر) | جابجایی قائم(میلیمتر) | دیواره چپ |
|-----------|-------|-------|-------------|-----------------------|-----------------------|-----------------------|-----------|
| تونل راست | ۱۱/۹۲ | ۱۰/۲۱ | ۳/۳۷۴ | ۳/۵۰۹ | | | |
| تونل چپ | ۱۱/۶۱ | ۱۰/۱۵ | ۳/۵۰۹ | ۳/۴۰۹ | | | |

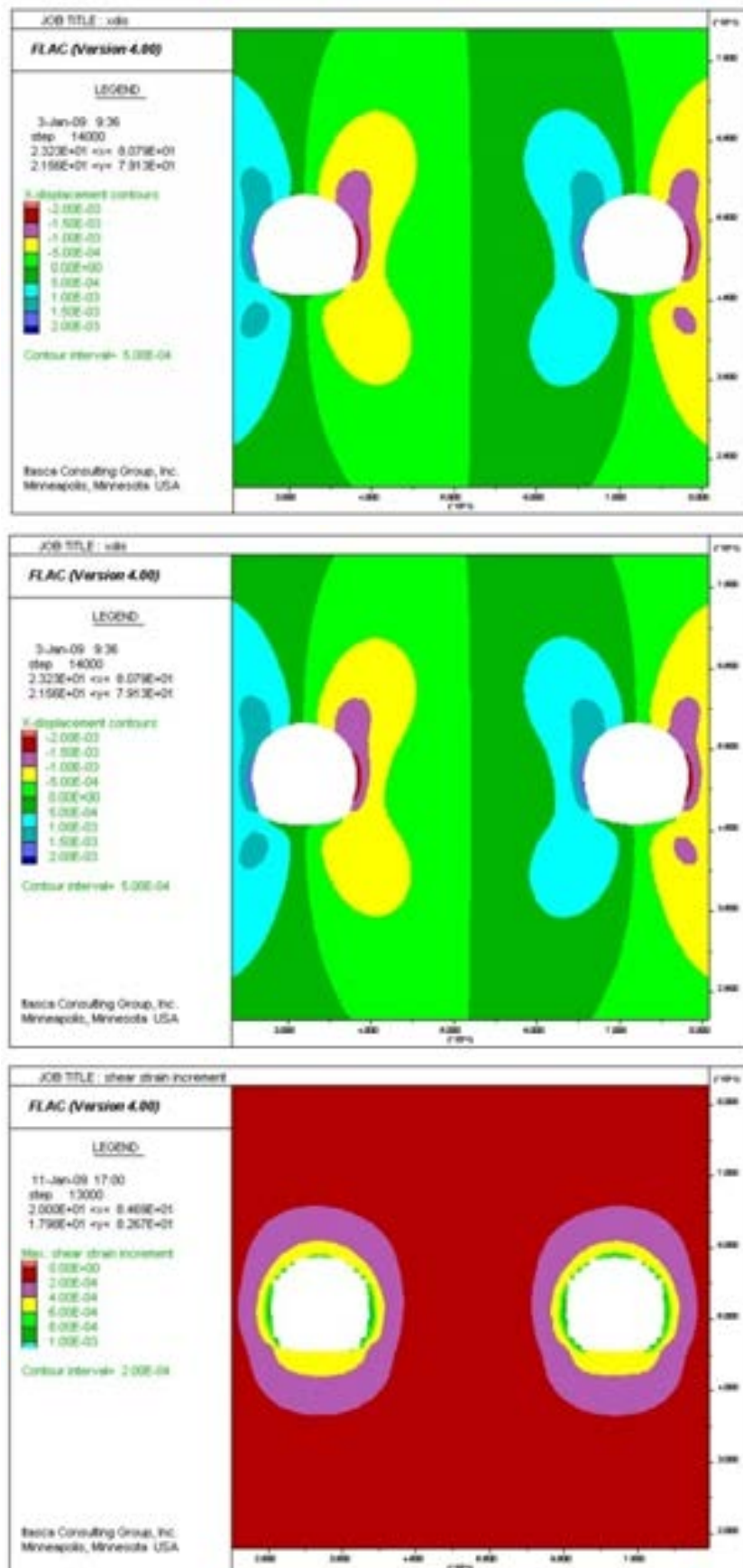
جدول ۸- میزان جابجایی های افقی و قائم بدون نصب نگهداری در مقطع ۳-۳

| موقعیت | سقف | کف | دیواره راست | جابجایی قائم(میلیمتر) | جابجایی افقی(میلیمتر) | جابجایی قائم(میلیمتر) | دیواره چپ |
|-----------|-------|-------|-------------|-----------------------|-----------------------|-----------------------|-----------|
| تونل راست | ۲۴/۵۲ | ۱۲/۸۸ | ۹/۰۸۴ | ۹/۸۳۰ | | | |
| تونل چپ | ۲۴/۰۰ | ۱۲/۸۴ | ۹/۴۹۰ | ۹/۰۴۲ | | | |

جابجایی به دست آمده از اطراف حفره زیرزمینی، می‌توان به پایداری و عدم پایداری سازه زیرزمینی دست یافت. اگر میزان جابجایی در اطراف حفریات زیرزمینی کمتر یا مساوی مقدار بحرانی باشد، در این-صورت می‌توان گفت که سازه پایدار خواهد بود. میزان جابجایی بحرانی را می‌توان با استفاده از قضاوت مهندسی و نوع استفاده‌ای که از سازه زیرزمینی می‌شود، بدست آورد.

۴-۱- بررسی میزان پایداری تونل‌های آب بر سد با استفاده از روش کرنل بمزانی

پس از تعیین مقدار جابجایی در توده‌سنگ اطراف تونل‌ها (تصویر ۵) لازم است تا با توجه به نتایج به دست آمده، وضعیت پایداری تونل‌ها مورد بررسی قرار گیرد. میزان جابجایی در اطراف حفره زیرزمینی، پارامتر قابل استفاده در تخمین پایداری تونل می‌باشد. بر اساس مقدار



تصویر ۵ - الف: جابجایی‌های قائم در انتهای حفاری دو تونل مقطع ۱-۱ بدون نصب سیستم نگهداری، ب: جابجایی‌های افقی در انتهای حفاری دو تونل مقطع ۱-۱ بدون نصب سیستم نگهداری و ج: کرنش برشی در انتهای حفاری دو تونل مقطع ۱-۱ بدون نصب سیستم نگهداری

مستقیم) تعیین نمود. دامنه تغییر نسبت این دو پارامتر (m/n) بین ۱ تا ۳ بوده که به نوع و کیفیت سنگ بستگی دارد. نکته قابل توجه آن است که کرنش بحرانی تودهسنگ تقریباً در همه موارد بزرگتر از کرنش بحرانی سنگ بکر است و این در حالی است که مقاومت فشاری و مدول الاستیسیته سنگ بکر از تودهسنگ بزرگتر است. بنابراین در کارهای مهندسی بهدلیل اینکه کرنش بحرانی تودهسنگ بزرگتر از کرنش بحرانی سنگ بکر است، می‌توان از کرنش بحرانی سنگ بکر به عنوان سطح هشدار برای پایداری تونل در تودهسنگ استفاده کرد.

در این حالت، ضریب اینمی به صورت خودکار بین ۱ تا ۳ در محاسبات منظور می‌شود. کرنش بحرانی حاصل از سنگ بکر به روش آزمایشگاهی، تحت تاثیر عوامل محیطی نظیر درجه حرارت، رطوبت و غیره قرار نمی‌گیرد، بنابراین، روشی قابل اعتماد می‌باشد. مقدار جابجایی بحرانی نیز از رابطه ۵ محاسبه می‌شود.

$$\text{رابطه (۵)} \quad U_c = \epsilon_c \times a$$

در این رابطه، U_c جابجایی بحرانی و a شعاع تونل می‌باشد (Sakurai 1997). پس از تعیین مقدار جابجایی در تودهسنگ اطراف تونل‌ها، لازم است تا بر اساس نتایج به دست آمده، وضعیت پایداری تونل‌ها را مورد بررسی قرار داد.

در این تحلیل، مقدار کرنش برشی حاصل از مدل‌سازی عددی با مقدار کرنش برشی مجاز مقایسه شده است. در صورتی که مقدار کرنش برشی از کرنش بحرانی کمتر باشد، سازه پایدار است. نتایج این تحلیل در جدول ۹ آورده شده است.

استفاده از روابط ساکورایی نیز برای تخمین میزان کرنش بحرانی مناسب است. این روش برای کنترل همگرایی تونل مورد استفاده قرار می‌گیرد. ساکورایی (Sakurai 1997) رابطه‌ای بین مقاومت فشاری و کرنش بحرانی برای مواد مختلف ارائه داد. در این حالت می‌توان میزان جابجایی‌ها را با استفاده از روش‌های عددی محاسبه و با جابجایی بحرانی بدست آمده توسط ساکورایی مقایسه نمود. در صورت تجاوز جابجایی از حد مجاز، سازه باید مورد تقویت و نگهداری قرار گیرد. ساکورایی نحوه به دست آوردن کرنش بحرانی (۶) را به صورت روابط ۲ و ۳، ارائه نمود.

$$\text{رابطه (۲)} \quad \log \epsilon_c = -0.25 \log E - 1.22$$

$$\text{رابطه (۳)} \quad \gamma_c = (1 + v) \epsilon_c$$

در این رابطه، E مدول یانگ سنگ بکر (بر حسب کیلوگرم نیرو بر سانتی متر مربع)، ϵ_c کرنش بحرانی در مقاومت فشاری تک محوره، γ_c کرنش بحرانی و v ضریب پوآسون می‌باشد.

کرنش بحرانی برای تودهسنگ از رابطه ۴ بدست می‌آید.

$$\text{رابطه (۴)} \quad \epsilon_{cm} = \frac{\sigma_{cm}}{E_m} = \frac{m\sigma_c}{nE} = \left(\frac{m}{n} \right) \epsilon_c$$

در این رابطه، σ_{cm} و E_m به ترتیب مقاومت فشاری و مدول الاستیسیته تودهسنگ می‌باشند. مقادیر m و n نیز ضرایبی هستند که مقاومت فشاری و مدول الاستیسیته سنگ بکر را به تودهسنگ تبدیل می‌کنند. در این حالت، مقاومت فشاری و مدول الاستیسیته تودهسنگ بهدلیل وجود درزه‌ها و ناپیوستگی‌ها، کمتر از سنگ بکر خواهد شد. بنابراین ضرایب m و n بین صفر تا یک خواهد بود. مقادیر m و n را می‌توان با استفاده از روش برجا (آزمایش جک تخت و آزمایش برشی

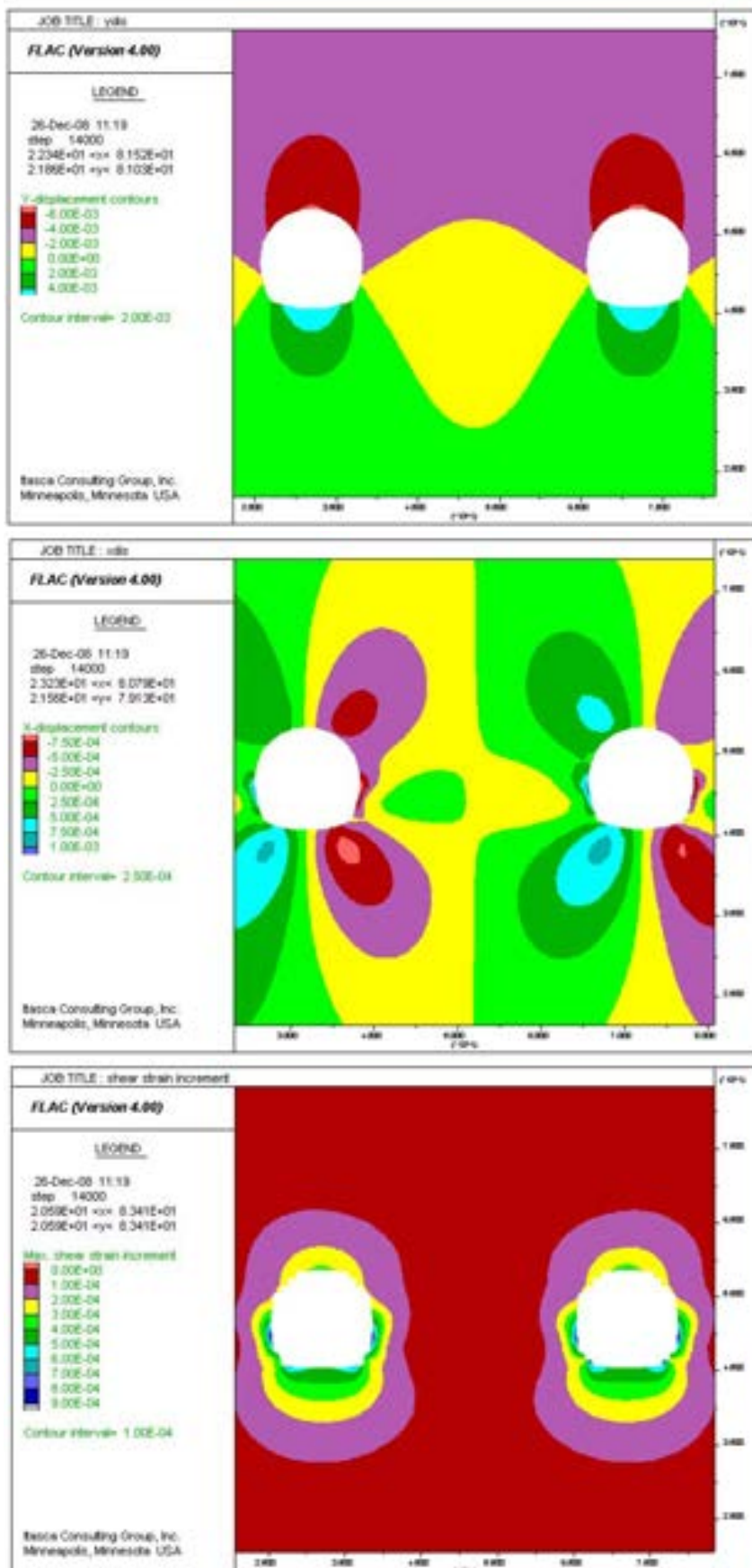
جدول ۹- نتایج حاصل از تحلیل پایداری تونل‌های آب بر سد گتوند علیا

| قطعه | نوع سنگ | عمق (متر) | کرنش برشی مجاز | مدلسازی عددی | وضعیت پایداری |
|------|---------|-----------|------------------------|------------------------|---------------|
| ۱-۱ | ۱a | ۲۷۰ | $1/898 \times 10^{-3}$ | $1/183 \times 10^{-3}$ | پایدار |
| ۲-۲ | ۱a – 1b | ۲۵۰ | $1/606 \times 10^{-3}$ | $2/088 \times 10^{-3}$ | نایپایدار |
| ۳-۳ | 3b | ۲۳۵ | $1/231 \times 10^{-3}$ | $3/756 \times 10^{-3}$ | نایپایدار |

شد که سیستم نگهداری تونل‌ها باید ترکیبی از میل‌مهر و شاتکریت باشد. سیستم نگهداری تونل‌ها بر این اساس طراحی شده است. مدل‌سازی سیستم‌های نگهداری شامل شاتکریت و میل‌مهر، به‌گونه‌ای است که بلافاصله بعد از حفاری، سیستم‌های نگهداری اعمال می‌شوند (تصویر ۶).

۴-۲- طراحی سیستم نگهداری

بر اساس نتایج حاصل از تحلیل پایداری، لازم است برای کنترل جابجایی‌های سقف، کف و دیواره‌های تونل‌های آب بر سد گتوند علیا، سیستم نگهداری مناسبی طراحی شود. بر اساس مطالعات موردنی انجام شده، طبقبندی مهندسی تودهسنگ و همچنین روش تحلیلی، مشخص



تصویر ۶-الف: جابجایی‌های قائم در انتهای حفاری دو تونل مقطع ۱-۱ بعد از نصب سیستم نگهداری، ب: جابجایی‌های افقی در انتهای حفاری دو تونل مقطع ۱-۱ بعد از نصب سیستم نگهداری و ج: کرنش برشی در انتهای حفاری دو تونل مقطع ۱-۱ بعد از نصب سیستم نگهداری

سیستم نگهداری پیشنهادی برای تونل‌های آب بر سد گتوند علیا با نرم‌افزار FLAC، در جدول ۱۰ آورده شده است. توجه به نتایج حاصل از تحلیل پایداری و مدل‌سازی عددی توسط

جدول ۱۰- سیستم نگهداری پیشنهادی، مطابق نتایج حاصل از مدل‌سازی عددی توسط نرم‌افزار FLAC

مشخصات شاتکریت

| مشخصات میل‌مهار | نوع سنگ | قطع | | |
|--------------------|--------------------------|-----------|---------|-----|
| ضخامت (میلیمتر) | فاصله‌داری (متر مربع) | طول (متر) | ۱a | ۱-۱ |
| ۱۰۰ | ۲ × ۲ | ۶ | ۱a | ۱-۱ |
| ۱۰۰ | ۲ × ۲ | ۶ | ۱a - ۱b | ۲-۲ |
| ۱۵۰ | ۱/۵ × ۱/۵ | ۶ | ۳b | ۳-۳ |

پس از نصب سیستم نگهداری و تعیین مقدار جابجایی در توده‌سنگ اطراف تونل‌ها، لازم است تا با توجه به نتایج بدست آمده، وضعیت پایداری تونل‌ها مورد بررسی قرار گیرد. در این پژوهش، مقدار کرنش حاصل از مدل‌سازی عددی با مقدار کرنش بحرانی مقایسه شده است (جدول ۱۱).

جدول ۱۱- نتایج تحلیل پایداری تونل‌های آب بر سد گتوند علیا، بعد از نصب سیستم نگهداری

| وضعیت پایداری | FLAC | کرنش بحرانی | عمق (متر) | نوع سنگ | قطع |
|---------------|--------------|--------------|-----------|---------|-----|
| پایدار | ۹/۴۰۰ × ۱۰⁻۴ | ۱/۸۹۸ × ۱۰⁻۳ | ۲۷۰ | ۱a | ۱-۱ |
| پایدار | ۱/۶۰ × ۱۰⁻۳ | ۱/۶۰۶ × ۱۰⁻۳ | ۲۵۰ | ۱a - ۱b | ۲-۲ |
| پایدار | ۱/۰۸۵ × ۱۰⁻۳ | ۱/۲۲۱ × ۱۰⁻۳ | ۲۳۵ | ۳b | ۳-۳ |

۱۰۰ میلیمتر، میل‌مهارهایی به طول ۶ متر و فاصله‌داری ۱/۵ متر مربع نصب گردد. سیستم طبقه‌بندی RMR، برای مقطع ۳-۳، نصب شاتکریت به ضخامت ۱۰۰ - ۵۰ میلیمتر در تاج و ۳۰ میلیمتر در دیواره‌ها را پیشنهاد می‌دهد. همچنین باید میل‌مهارهایی به طول ۴ متر و فاصله‌داری ۲ - ۱/۵ متر مربع نصب شوند. همچنین بر اساس روش عددی، باید شاتکریت به ضخامت ۱۵۰ میلیمتر، میل‌مهارهایی به طول ۶ متر و فاصله‌داری ۱/۵ متر مربع نصب گردد.

مرابع

جلالی، محمد اسماعیل، ۱۳۸۱، "مروی بر مسائل مکانیک‌سنگ"، انتشارات دانشگاه صنایع و معادن ایران.
خدابنده‌لو، فرشید و بهادر بیگی، داود، ۱۳۸۴، "نرم‌افزار FLAC، انتشارات جهاد دانشگاهی واحد صنعتی امیرکبیر.
سازمان توسعه و نوسازی معدن و صنایع معدنی ایران، ۱۳۹۰، "معدن و معدنکاری در ایران".
شرکت مهندسین مشاور مهاب قدس، ۱۳۸۷، "پارامترهای رئومکانیکی تونل‌های آبرسان طرح سد و نیروگاه گتوند علیا"، نسخه پیش‌نویس.

۵- نتیجه گیری

براساس تحلیل پایداری تونل‌های آب بر سد گتوند علیا با استفاده از روش‌های تجربی و عددی پس از اتمام حفاری‌ها و قبل از نصب سیستم نگهداری، می‌توان نتیجه گرفت که مقطع ۱-۱، بر اساس سیستم طبقه‌بندی RMR و روش عددی، پایدار و مقاطع ۲-۲ و ۳-۳، بر اساس سیستم طبقه‌بندی RMR و روش عددی ناپایدار می‌باشند. با توجه به تحلیل پایداری تونل‌های آب بر سد گتوند علیا با استفاده از روش‌های تجربی و عددی پس از اتمام حفاری‌ها و بعد از نصب سیستم نگهداری، می‌توان نتیجه گرفت که بر اساس سیستم طبقه‌بندی RMR، مقطع ۱-۱ نیازی به نصب سیستم نگهداری ندارد ولی مطابق با نتایج حاصل از روش عددی، این مقطع نیاز به نصب شاتکریت به ضخامت ۱۰۰ میلیمتر و میل‌مهارهایی به طول ۶ متر و فاصله‌داری ۲ متر مربع دارد. این سیستم برای مقطع ۲-۲، نصب شاتکریت به ضخامت ۱۰۰ - ۵۰ میلیمتر در تاج و ۳۰ میلیمتر در دیواره‌ها را پیشنهاد می‌دهد. همچنین باید میل‌مهارهایی به طول ۴ متر و فاصله‌داری ۲ - ۱/۵ متر مربع نصب شوند. بر اساس روش عددی باید شاتکریت به ضخامت

فرهودی، ق.، رهنماراد، ج.، رحیمی، ع.، سامانی، ب. و کریمی، ا.، ۱۳۸۶، "زمین‌شناسی مهندسی و ردیابی مهندسی توده سنگ در ساختگاه سد خاکی قره پیری در شمال شرق شیزار"، *فصلنامه زمین-شناسی کاربردی دانشگاه آزاد اسلامی واحد زاهدان*، سال ۳ (۱): ۴۳-۵۳.

معماریان، حسن، ۱۳۷۴، "زمین‌شناسی مهندسی و ژئوتکنیک"، *انتشارات دانشگاه تهران*، ۷۳۳ ص.

وفاییان، م.، ۱۳۸۴، "خواص مهندسی سنگها، تئوری‌ها و کاربردهای اجرایی"، *انتشارات ارکان اصفهان*، چاپ دوم، ۴۴۶ ص.
هوک، ا.، ۱۳۸۱، "مهندسی سنگ کاربردی"، *ترجمه طاهریان*، ع.، *انتشارات دهخدا*، ۵۱۲ ص.

Barton, N., 2008, "Rock engineering for drill and blast and TBM tunneling and important aspects of rock joints and rock mass behavior", *workshop, 4-5 February 2008, Iranian Society of Rock Mechanics (IRSM), presented Tehran, Iran.*

Bierniawski, Z. T., 1974, "Geomechanics classification of rock masses and its application in tunneling", In: Bierniawski, Z. T. (ed.), *Advances in Rock Mechanics*, Vol. 2A: 27-32, Washington, D.C., National Academy of Sciences.

Bierniawski, Z. T., 1976, "Rock mass classification in rock engineering", In: Bierniawski, Z. T. (ed.), *Exploration for Rock Engineering, Proc. of the Symposium*, Vol. 1: 97-106, Cape Town, Balkema.

Bierniawski, Z. T., 1979, "The geomechanics classification in rock engineering applications", *Proc. 4th Congress, Int. Soc. Rock Mech. Montreux*, Vol. 2: 41-48.

Bierniawski, Z. T., 1989, "Engineering Rock Mass classification", Wiley, New York, 251 pp.

Choi, S.Y. & Park, H. D., 2002, "Comparison among different criteria of RMR and Q-system for rock mass classification for tunnelling in Korea", *Tunneling and Underground Space Technology*, Vol. 17 (4): 391-401.

Iran Water and Power Resources Development Company, 2012, "Upper Gatvand Project", <http://fa.iwpc.co.ir/Gatvand/default.aspx>, available at: 16 Nov. 2012.

Milne, D., Hadjigeorgiou, J. & Pakalnis, R., 1998, "Rock mass characterization for underground hard rock mines", *Tunnelling and Underground Space Technology*, Vol. 13 (4): 383-391.

Sakurai, S., 1997, "Lessons learned from field measurements in tunneling", *Tunnelling and Underground Space Technology*, Vol. 12 (4): 453-460.

Terzaghi, K., 1946, "Rock tunneling with steel supports", *Youngstown, Ohio, Commercial Shearing and Stamping Co.*

Upper Gotvand Dam & HEPP, 2008, "Geology of the Power Tunnels", *Mahab Gods & Coyne et Bellier, JV Report*